

Man-Machine 제어 시스템 분석

이상훈 최중락 이동권 김영수
진해기계창

Man-Machine Control System Analysis

Sang-Hoon Lee, Joong-Lak Choi, Dong-Kwon Lee, Yong-Su Kim
Chinhae Machine Depot

Abstract

This paper presents an analysis of the man-machine control system. A man-machine system depends on the performance of a human operator for proper operation. The analysis method is based upon the assumption that human operator will act in a near optimal controller. Optimal control theory and its associated state space representation is used as the basis for the analytic procedure. The computer simulation for a given plant shows that plant parameters have limited range by the human operator.

Man 모델을 선정하여야 한다. Man 모델은 주파수 특성, 비선형성, 시간지연, 적응성등이 고려되어야 하며, Shinners 에 의해서 다음과 같이 제시되고 있다.

$$GH(S) = K \frac{(1+T_A s)}{(1+T_L s)(1+T_N s)} e^{-Ts} \quad (1)$$

여기서 K = Gain
D = Time Delay
T_A = Time Constant
T_L = Error Smoothing time Constant
T_N = Neuromuscular lag

1. 서 론

제어시스템에서 기계와 사람의 상호작용에 의해서 기계가 제어될 때 Man-Machine 시스템이라 한다. 그림 1 에서 제시된 바와같이 사람의 역할은 제어 시스템의 상태변수 조절기(State regulator)로서 피제어 시스템의 오차 출력이 영이 되도록 하는 것이다. 그림 1 은 보상수동추적 시스템(Compensatory Manual Tracking System)의 대표적인 구성도이다.

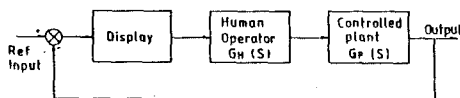


그림 1. 보상수동추적 장치의 구성도

이러한 Man-Machine 시스템에서 Man 의 역할에 따라서 전체시스템의 성능이 크게 좌우되며, 사람은 저주파수의 입력에 응답이 가능한 점에서 제어 시스템은 사람의 특성을 고려하여 설계되어야 한다.

Man-Machine 시스템을 해석하기 위하여서는

한편 Kleinman 는 최적개념을 적용하여 Man 을 모델링하였으며, 실제 시스템에 적용하여 만족할 만한 결과를 얻었다. 따라서 본 논문에서는 Kleinman 이 제시한 모델을 제어대상 시스템에 적용하여 그 결과를 분석하였으며, 제어시스템의 계수들을 Man 에 적합하도록 결정할 수 있었다.

2 장에서는 최적제어 개념에서 Man-Machine 시스템의 모델을 제시하였고, 3 장에서는 Man 모델을 대상 피제어 시스템에 적용한 컴퓨터 시뮬레이션 결과를 나타내었다.

2. Man-Machine 시스템 모델

본 논문에서 수행될 Man-Machine 시스템의 구성도는 다음 그림 2 와 같다. $w(t)$ 는 Plant 의 Disturbance, $v(t)$ 는 Man 의 관측잡음, $v_m(t)$ 는 Neuromuscular 의 잡음으로 Gaussian White 잡음으로 취급하였다.

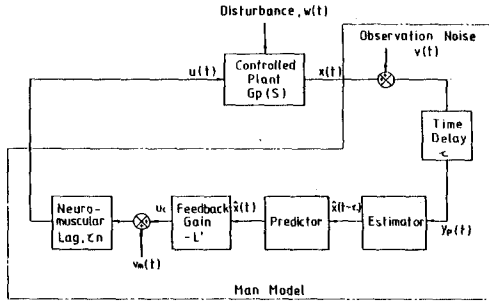


그림 2. Man - Machine 시스템의 구성도

피제어 시스템을 선형시불변계로 표시하면,

$$\dot{\mathbf{x}}(t) = \mathbf{A}\mathbf{x}(t) + \mathbf{B}\mathbf{U}(t) + \boldsymbol{\omega}(t) \quad (2)$$

여기서 $E\{\boldsymbol{\omega}(t)\} = 0$

$$E\{\boldsymbol{\omega}(t)\boldsymbol{\omega}^T(\sigma)\} = \mathbf{W}\delta(t-\sigma)$$

제어시스템에서의 Man Model 은 반응시간 지연 τ , Estimator, Predictor, Neuromuscular Lag 항으로 표시할 수 있다. τ 와 τ_n 의 값은 실험적으로 구할수 있는데 $\tau = 0.15-0.3\text{sec}$, $\tau_n = 0.1-0.2\text{sec}$ 의 값을 갖는다. 또 그림 2의 제어시스템에서 Man 은 피제어 시스템의 출력, 즉 오차를 영으로 하는 State Regulator 역할을 하므로, 최적 제어 개념을 적용하여 작동수에 의해서 피제어 시스템의 입력이 다음과 같은 목적함수를 최소화 한다고 가정하면,

$$J(u) = \int_0^{\infty} \left[\sum_{i=1}^n q_i x_i^2(t) + r\dot{u}^2(t) + g\dot{u}^2(t) \right] dt \quad (3)$$

여기서 $x_i(t)$ = 피제어 시스템의 상태변수

$u(t)$ = 제어 입력

$$q_i \geq 0, r \geq 0, g > 0$$

(3)식의 목적함수에서 비제어 입력 $\dot{u}(t)$ 로 인하여 새로운 상태변수 (Augmented State Vector)를 정의하면

$$\Gamma(t) \triangleq \begin{bmatrix} \mathbf{x}(t) \\ \mathbf{u}(t) \end{bmatrix} \quad (4)$$

$$\boldsymbol{\mu}(t) \triangleq \dot{\mathbf{u}}(t)$$

따라서 최적궤환 이득을 위한 상태방정식은 다음과

같다.

$$\dot{\Gamma}(t) = \mathbf{A}_1\Gamma(t) + \mathbf{B}_1\boldsymbol{\mu}(t) + \boldsymbol{\omega}(t) \quad (5)$$

여기서

$$\mathbf{A}_1 = \begin{bmatrix} \mathbf{A} & \mathbf{B} \\ \mathbf{0} & \mathbf{I} \end{bmatrix}$$

$$\mathbf{B}_1 = [0, \dots, 0, \mathbf{I}]^T$$

따라서 최적제어 입력 $\mathbf{u}^*(t)$ 는 다음식에서 얻어진다.

$$\tau_n \mathbf{u}^*(t) + \mathbf{u}^*(t) = \mathbf{u}_c(t) + \mathbf{v}_m(t) \quad (6)$$

$$\mathbf{u}_c(t) = -\mathbf{L}\hat{\mathbf{x}}(t)$$

$$\mathbf{L} = \tau_n \mathbf{L}' = \tau_n [l'_1, l'_2, \dots, l'_n]$$

궤환이득 \mathbf{L} 은 Riccati 방정식의 해로부터 구할 수 있다.

$$\mathbf{A}_1^T \mathbf{K}_c + \mathbf{K}_c \mathbf{A}_1 + \mathbf{Q}_1 - \mathbf{K}_c \mathbf{B}_1 \mathbf{B}_1^T \mathbf{K}_c / g = 0 \quad (7)$$

$$\mathbf{L}' = \mathbf{B}^T \mathbf{K}_c / g$$

$$\mathbf{Q}_1 = \text{diag} [q_1, \dots, q_n, r]$$

Man 에 의해서 감지되는 저주파수 오차입력에서 Neuromuscular Lag 는 위상지연항으로 나타나며 Man-Machine 제어 시스템에서 ($\tau + \tau_n$)를 동가시간 지연이라 한다.

Man 에 의한 측정모델을 (8) 식으로 표시할 때 Man 모델의 Estimator 와 Predictor 는 다음과 같다.

$$\mathbf{y}_p(t) = \mathbf{H}\mathbf{x}(t-\tau) + \mathbf{v}(t-\tau) \quad (8)$$

여기서 측정잡음 $\mathbf{v}(t)$ 는

$$E\{\mathbf{v}(t)\} = 0$$

$$E\{\mathbf{v}(t)\mathbf{v}^T(\sigma)\} = \mathbf{V}_2\delta(t-\sigma)$$

직렬연결된 Kalman 필터와 Predictor 의 출력인 $\hat{\mathbf{x}}(t)$ 를 구하기 위하여서는 추가되는 $\mathbf{v}_m(t)$ 의 잡음이 포함되도록 상태방정식을 정하여야 한다. (4) 식의 상태변수를 이용 (2), (6) 식에서

$$\dot{\Gamma}(t) = \mathbf{A}_2\Gamma(t) + \mathbf{B}_2\mathbf{u}_c(t) + \boldsymbol{\omega}_2(t) \quad (9)$$

$$\text{여기서 } \mathbf{A}_2 = \begin{bmatrix} \mathbf{A} & \mathbf{B} \\ \mathbf{0} & \tau_n^{-1} \mathbf{I} \end{bmatrix}$$

$$\mathbf{B}_2 = [0, \dots, \tau_n^{-1}]^T$$

$$\boldsymbol{\omega}_2 = [\boldsymbol{\omega}(t) : \mathbf{v}_m(t) / \tau_n]$$

Estimator (Kalman Filter);

$$\hat{\Gamma}(t-\tau) = A_2 \hat{\Gamma}(t-\tau) + K_f [y_p(t) - H \hat{\Gamma}(t-\tau)] \quad (10)$$

$$+ B_2 U_c(t-\tau)$$

(10) 식의 Kalman 필터는 관측치 $y_p(t)$ 로 부터 지연된 상태변수 $\hat{\Gamma}(t-\tau)$ 를 추정하는 것으로, $\Gamma(t-\tau)$ - $\hat{\Gamma}(t-\tau)$ 의 공분산을 $P(t-\tau)$ 라 할 때 $P(t-\tau)$ 와 K_f 를 구함으로써 $\Gamma(t-\tau)$ 의 추정이 가능하다.

K_f 는 Kalman 필터의 이득으로 최적 제어입력을 구하는 방법과 같이 구할 수 있다.

$$O = A_2 P + P A_2^T + W_2 - P H^T V_2^{-1} H P \quad (11)$$

$$K_f = P H^T V_2^{-1}$$

여기서 $W_2 = \text{diag} [W : V_m / \tau_n^2]$

Predictor

$$\hat{\Gamma}(t) = \xi(t) + e^{A_2 \tau} [p(t) - \xi(t-\tau)] \quad (12)$$

$$\dot{\xi}(t) = A_2 \xi(t) - B_2 L' x(t)$$

$$p(t) \triangleq x(t-\tau)$$

3. 시뮬레이션

피제어 시스템의 모델은 식 13 과 같으며, 2장에서 제시한 Kleinman 의 Man 모델을 적용하여 보상 수동 추적 시스템을 컴퓨터로 시뮬레이션하였다.

$$G_p(s) = \frac{K_p}{T_p s + 1} \quad (13)$$

시뮬레이션에 적용되는 전체시스템의 Matrix 는 다음과 같다.

$$A_1 = \begin{bmatrix} a_{11} & a_{12} \\ 0 & 0 \end{bmatrix} \quad A_2 = \begin{bmatrix} a_{11} & a_{12} \\ 0 & a_{22} \end{bmatrix}$$

$$B_1 = \begin{bmatrix} 0 \\ 1 \end{bmatrix} \quad B_2 = \begin{bmatrix} 0 \\ b \end{bmatrix}$$

$$Q_1 = \begin{bmatrix} 1 & 0 \\ 0 & 0 \end{bmatrix} \quad g = 0.9 \times 10^{-3}$$

여기서

$$a_{11} = T_c^{-1}, \quad a_{12} = K_c / T_c$$

$$a_{22} = b = \tau_n^{-1}$$

(13) 식의 피제어 시스템과 시간지연항, (10)-(12) 식으로 표현되는 Kalman 필터 및 Predictor 식을 Runge-Kutta 적분방식을 이용하여 시뮬레이션 하였고, 적분시 $\Delta T = 0.001$ 로 하였다.

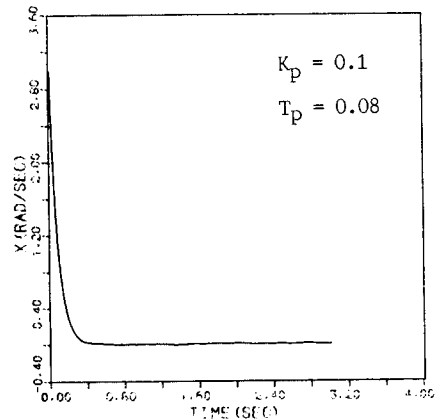
2 장에서 제시한 τ_n, τ 값의 범위를 각각 0.1 - 0.2 sec, 0.15 - 0.3 sec 로 제한하고, 피제어 시스템의 K_p 및 T_p 값을 각각 0.08 - 10.0, 0.04 - 1.0 범위에서 변화시키면서 피제어 시스템의 출력을 관찰한 결과 그림 3과 같은 결과를 얻었다. 피제어 시스템의 K_p 의 증가에 따라 출력오차의 증가와 T_p 의 증가에 따라 출력오차의 감쇄시간이 지연됨을 볼 수 있다.

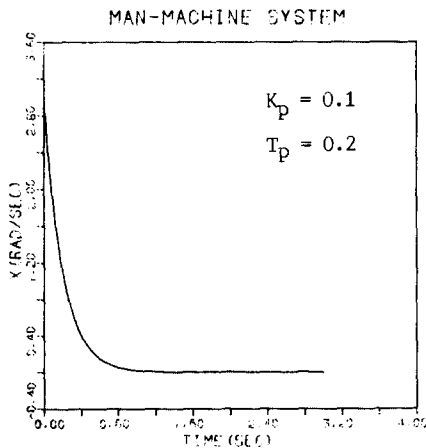
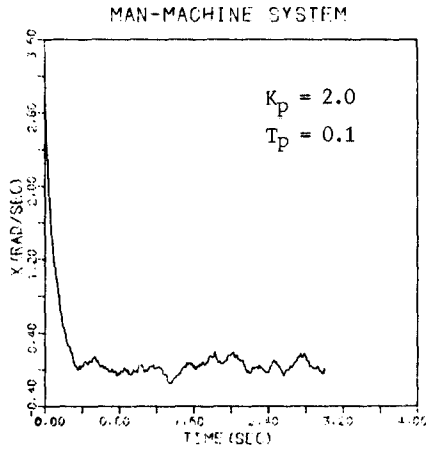
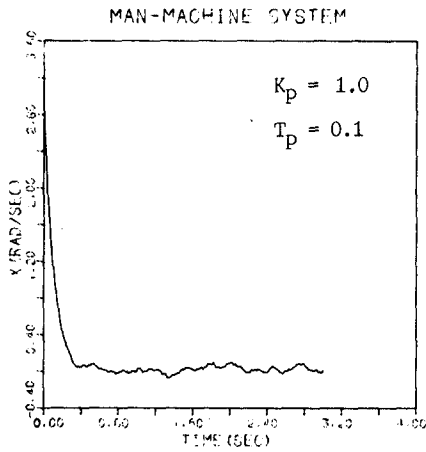
4. 결 론

본 논문에서는 보상 수동추적 장치에서 작동수의 특성에 최적제어 개념을 적용하여 피제어 시스템의 파라미터의 변화에 따르는 출력을 컴퓨터 시뮬레이션을 통하여 관찰하였다. 시뮬레이션 결과 개략적인 시스템 파라미터의 범위를 정할 수 있었고, 좀 더 정확한 값은 실제 실험을 통하여 Man의 특성을 파악한 후, 시스템이 목적하는 정확도를 고려하여 결정하여야 할 것으로 판단된다. 본 논문에서는 Man 에 대한 잡음을 Gaussian White 잡음으로 고려하였으나 제어 측면에서의 Man 의 특성과 잡음에 관한 연구가 계속 수행되어야 한다.

그림 3. K_p, T_p 의 변화에 대한 시스템의 응답특성

($\tau_n = 0.15, \tau = 0.2$)
MAN-MACHINE SYSTEM





- [1] Stanley M. Shinnars, "Man-Machine Control System" Electro Technology, April 1967.
- [2] Sheldon Baron, David L. Kleinman, Duncan C. Miller & William H. Levison "Application of Optimal Control Theory to the Prediction of Human Performance in a Complex Task" AFFDL TR69-81, March 1969.
- [3] L. Daniel Metz, " A Time-Varing Approach to the Modeling of Human Contron Remnant" IEEE Trans., Syst., Man, Cybern., Vol. SMC-12, 1982.
- [4] L.D. Metz & B. Cyr " Robust Control Performance of Time-Varing Human Controller Models", Automatia, Vol.24, No-4, 1985.
- [5] David L. Kleinman, Sheldon Baron "A Control Theoretic Approach to Manned-Vehicle Systems Analysis", IEEE Trans., Auto. Cont., AC-16 Dec., 1971.
- [6] Stanley M. Shinnars, " Modeling of Human Operator Performance Utilizing Time Series Analysis", IEEE Trans., Sys. Man & Cyb., SMC-4, Sep., 1974.
- [7] Jerone I. Elkind, Peter L.Falb & David Kleinman, "An Optimal Control Method for Predicting Control Characteristics and Display Requirements of Manned-Vehicle Systems" , AFFDL-67-187, June 1968.
- [8] Andrew P. Sage, "Optimum Systems Control", Prentice-Hall, Inc., 1977.
- [9] Donald E. Kirk, "Optimal Control Theory", Prentice-Hall, In.c, 1970.
- [10] Arthur Gelb, "Applied Optimal Estimation", The MIT Press, 1974.